



ENGENHARIA ELETROTÉCNICA E DE COMPUTADORES

---

Controlo

## Relatório Final

---

*Autores:*

**Daniel Dinis**

Student ID: 99906

**João Gonçalves**

Student ID: 99995

**Rodrigo Coimbra**

Student ID: 100078

Junho 2021

# 1 Introdução

O objetivo deste trabalho é o estudo de um motor DC, cujo o esquema simplificado equivalente pode ser apresentado da seguinte forma:

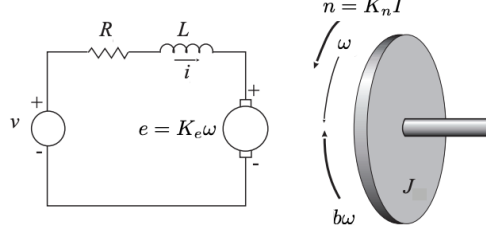


Fig. 1: Circuito equivalente do motor DC

Para uma melhor organização, enumera-se de seguida as diferentes grandezas utilizadas neste trabalho.

- R - Resistência do circuito de rotor (armadura)
- L - Indutância do circuito de rotor (armadura)
- $e(t)$  - Força (tensão) contra-eletromotriz
- $K_e$  - Constante elétrica
- $i(t)$  - Corrente do circuito de rotor (armadura)
- $v(t)$  - Tensão aplicada aos terminais do motor
- $w(t)$  - Velocidade angular do motor
- J - Momento de inércia referido ao eixo do motor
- b - Coeficiente de atrito
- $n(t)$  - Binário do motor
- $K_n$  - Constante de corrente/torque

Também é fundamental apresentar as equações que regem este sistema.

Aplicando a Lei das Malhas, a tensão  $v(t)$  relaciona-se com a corrente  $i(t)$  e a força eletromotriz  $e(t)$ , como apresentado na equação (1.1).

$$v(t) = Ri(t) + L \frac{di(t)}{dt} + e(t) \quad (1.1)$$

Fazendo a aproximação que  $R \gg L$  e sabendo que  $e(t) = K_e \cdot w(t)$ , podemos considerar que a corrente  $i(t)$  é dada por:

$$i(t) = \frac{v(t) - K_e \cdot w(t)}{R} \quad (1.2)$$

A equação (1.3) descreve a velocidade angular do motor, em que o binário do motor  $n(t) = K_n i(t)$ .

$$J \cdot \dot{w}(t) = -bw(t) + n(t) \quad (1.3)$$

## 2 Modelação

### 2.1 [T] Modelo Dinâmico Simplificado

**Resposta:** Para se obter a função de transferência do sistema começamos por substituir a (1.2), na equação (1.3), de seguida separa-se os termos dependentes de  $w(t)$  dos dependentes de  $v(t)$ .

$$J \cdot \dot{w}(t) = -bw(t) + K_n \frac{v(t) - K_e \cdot w(t)}{R} \quad (2.1)$$

$$\Leftrightarrow R \cdot J \cdot \dot{w}(t) + w(t)(R \cdot b + K_e K_n) = K_n v(t) \quad (2.2)$$

Aplicando a Transformada de Laplace à equação (2.2), obtém-se

$$\Omega(s)(s \cdot R \cdot J + R \cdot b + K_e K_n) = K_n V(s) \quad (2.3)$$

Daí é trivial concluir que a função de transferência  $G(s)$  vai ser dada por:

$$G(s) = \frac{\Omega(s)}{V(s)} = \frac{K_n}{R \cdot b + K_e K_n} \frac{\frac{R \cdot b + K_e K_n}{R \cdot J}}{s + \frac{R \cdot b + K_e K_n}{R \cdot J}} \quad (2.4)$$

Conclui-se então que a função de transferência do sistema é de 1<sup>a</sup> ordem e pode ser escrita da forma

$$G(s) = \frac{\Omega(s)}{V(s)} = k_0 \frac{a}{s + a} \quad (2.5)$$

em que  $k_0 = \frac{K_n}{R \cdot b + K_e K_n}$  e  $a = \frac{R \cdot b + K_e K_n}{R \cdot J}$ .

### 3 Identificação do Sistema

#### 3.1 [T] Domínio do tempo

**Resposta:** Com objetivo de analisar a resposta do sistema ao escalão unitário considerou-se  $X(s)$  a Transformada de Laplace do sinal de entrada do nosso sistema,  $G(s)$  a função transferência e  $Y(s)$  a Transformada de Laplace do sinal de saída do sistema ( $w(t)$ ). Sendo a entrada um degrau unitário, é fácil deduzir que:

$$x(t) = u(t) \xrightarrow{\text{TL}} X(s) = \frac{1}{s} \quad (3.1)$$

$$Y(s) = G(s) \cdot X(s) = k_0 \frac{a}{s(s + a)} = \frac{k_0}{s} - \frac{k_0}{s + a} \quad (3.2)$$

Aplicando a Transformada de Laplace inversa a  $Y(s)$  é possível concluir que a resposta do sistema ao degrau unitário é:

$$w(t) = k_0(1 - e^{-at})u(t) \quad (3.3)$$

A partir da equação (3.3) é possível calcular a resposta forçada do sistema, ou seja

$$w(t \rightarrow \infty) = k_0 u(t) \quad (3.4)$$

$$w(t = \frac{1}{a}) = k_0(1 - e^{-1})u(t) \approx 0.632 \cdot k_0 \cdot u(t) \quad (3.5)$$

Agora que já conhecemos a resposta do sistema ao degrau unitário, seria interessante a partir desta informação ser capaz de descobrir os valores dos parâmetros  $k_0$  e  $a$ .

O método sugerido seria através da análise da resposta ao escalão retirar o valor do ganho estático  $w(t \rightarrow \infty)$ , este valor corresponderá ao  $k_0$ . Com o valor de  $k_0$  é possível descobrir o valor de  $w(t = \frac{1}{a}) = k_0(1 - e^{-1})u(t)$ , de seguida procura se no gráfico qual o valor de  $t$  que tem ordenada  $0.632 \cdot k_0 \cdot u(t)$ , que será o nosso  $a = \frac{1}{t}$ .

#### 3.2 [T] Resposta em frequência

**Resposta:** Analisando a função de transferência do nosso sistema descrita pela equação (2.5), tendo em conta que o nosso  $a \geq 0$ , é fácil de deduzir como será o nosso diagrama de bode uma vez que temos um único polo em  $-a$ .

Note-se que o diagrama de bode assintótico é meramente uma aproximação, ou seja quer para baixas frequências quer para altas o diagrama é aproximado por uma reta (em unidades logarítmicas), no limite em  $w \rightarrow 0$  e  $w \rightarrow \infty$  esta aproximação é adequada, mas quando as 2 retas se cruzam (na frequência  $a$ ) ocorre um erro, mais especificamente de -3dB, este erro decresce à medida que se afasta da frequência  $a$ . Note-se que este comportamento é perfeitamente visível na figura 2.

Seria interessante a partir do diagrama de bode da função de transferência do sistema ser capaz de descobrir os valores dos parâmetros  $k_0$  e  $a$ .

O método sugerido para tal seria selecionar um conjunto de pontos do modulo de  $H(j\omega)$  a baixas frequências ( $f \ll a$ ) que iriam formar uma reta constante  $y = k_0$ , sendo possível daí retirar o valor de  $k_0$ . De seguida selecionavam-se um conjunto de pontos a altas frequências ( $f \gg a$ ) que também iriam formar uma reta. O ponto de interseção das duas retas terá como frequência o nosso valor de  $a$ , note-se que em termos do diagrama real este ponto estaria na verdade 3dB abaixo, tal como já foi mencionado.

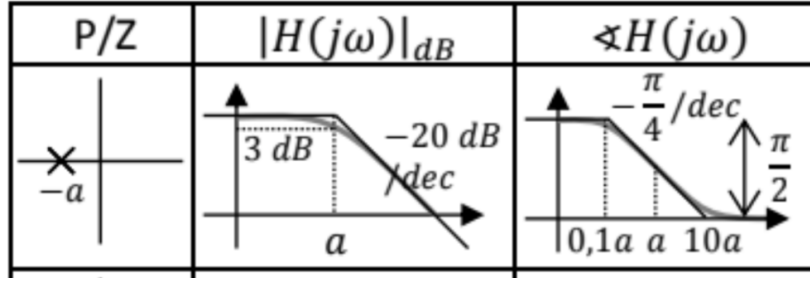


Fig. 2: Diagrama de Bode com um único polo em  $-a$

### 3.3 [L] Resposta ao escalão

**Resposta:** Nesta componente laboratorial obteve-se a resposta de um motor DC a um escalão de 1 V de amplitude. Em seguida, analisou-se a resposta em regime estacionário, pois, como deduzido em (3.4), este indica o valor de  $k_0$ . Assim, obteve-se o valor aproximado de  $k_0 \approx 1.5$ , note se como o sistema é real, existem sempre erros associados e, portanto, o  $k_0$  não é um valor bem definido.

Para descobrir o valor de  $a$ , utilizou-se o método deduzido em (3.5), obtendo-se  $w(t) = 0.632 \cdot 1.5 = 0.9480$ . Neste ponto observa-se que  $t = 1.027s$ , ou seja,  $0.027s$  depois da atuação do escalão, logo  $a = \frac{1}{0.027} = 37.04$ .

Por fim, simulou-se o sistema do motor DC com o  $a$  e o  $k_0$  calculados, tendo-se obtido as respostas vistas na figura 3. A resposta do motor é semelhante às simuladas, portanto, pode-se concluir que estes parâmetros resultam numa boa aproximação ao sistema do motor DC para respostas a escalões.

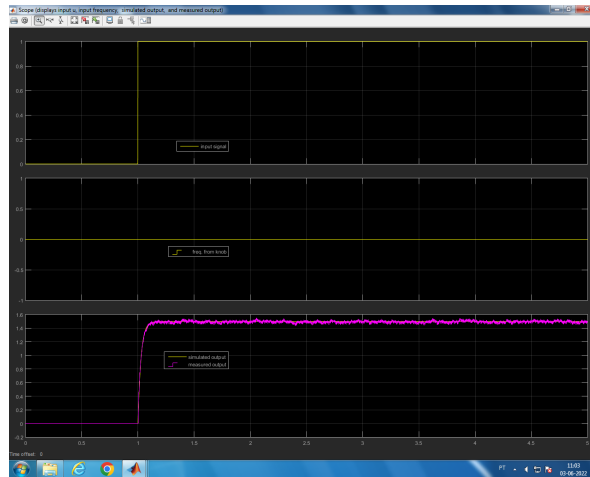


Fig. 3: Resposta ao escalão medida no motor DC (rosa) e a simulada (amarelo)

### 3.4 [L] Tabela de ganhos para diferentes frequências

**Resposta:** A tabela seguinte mostra a amplitude e o ganho do sistema real do motor DC quando se aplica à entrada um sinal sinusoidal de  $0.5V$  e frequência indicada na tabela.

As amplitudes foram obtidas através dos cursores do Matlab, como se pode ver na figura 5, e em seguida aplicou-se a fórmula da (3.6) para se obter o ganho em dB de cada sinal.

$$Ganho[dB] = 20 \cdot \log\left(\frac{Amplitude}{0.5}\right) \quad (3.6)$$

### 3.5 [L] Resposta em frequência do sistema real

**Resposta:** Através dos dados recolhidos na tabela da pergunta 3.4 (pontos a vermelho na figura 6), com recurso do Matlab (do qual foi enviado o código), criou-se uma aproximação do diagrama de Bode do sistema real.

	Frequência [Hz]	Amplitude [V]	Ganho [dB]
1	3,7	0.633	2,0487
2	35,11	0.478	-0,3908
3	61,96	0.389	-2,18599
4	99,73	0.250	-6,0315
5	109,3	0.243	-6,25138
6	133,8	0.210	-7,53766
7	156,1	0.190	-8,65105
8	173,9	0.167	-9,51847
9	185	0.180	-8,88747

Fig. 4: Tabela de Ganhos

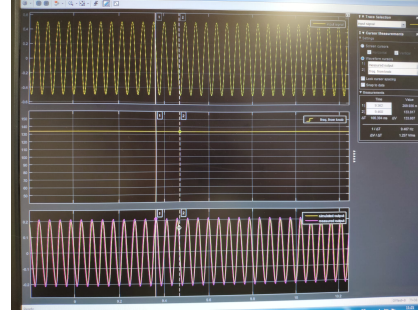


Fig. 5: Resposta à senoide de 0.5V e 133.8 Hz

Tanto para baixas como para altas frequências este diagrama pode ser considerado como duas assintotas, em que a primeira é uma reta horizontal de ordenada igual a 1.97 dB e a segunda uma reta com um declive de -19.173498 dB/década (em situação ideal este declive seria -20dB).

Para além disso, podemos retirar o ganho de baixa frequência e a frequência de corte observando mais uma vez a figura 6.

O ganho de baixa frequência é o valor da ordenada da assintota de baixas frequências, ou seja, 1.97 dB (porque se trata de uma aproximação, pois na tabela obtivemos 2,0487 dB).

Já a frequência de corte ( $f_0$ ) para o diagrama de Bode aproximado é o valor em que este ganho se encontra 3 dB abaixo do ganho de baixa frequência, ou seja, a frequência para -1.03 dB, que seria teoricamente o valor de  $a$ . Através da interseção da reta horizontal de -1.03 dB e o diagrama de Bode, obtemos  $f_0 = 45.952 \approx a$ .

Já se considerarmos o gráfico assintótico do diagrama de Bode, então a frequência de corte será a interseção das duas assintotas, obtendo assim  $f_0 = 40.346 \approx a$

Estes valores de  $f_0$  ligeiramente diferentes de  $a = 37.04$  obtido na secção 3.3 devem-se especialmente à falta de pontos experimentais em torno do valor de  $a$ , pois é uma zona de variação acentuada e está a ser feita uma aproximação com apenas 1 ponto nessa zona.

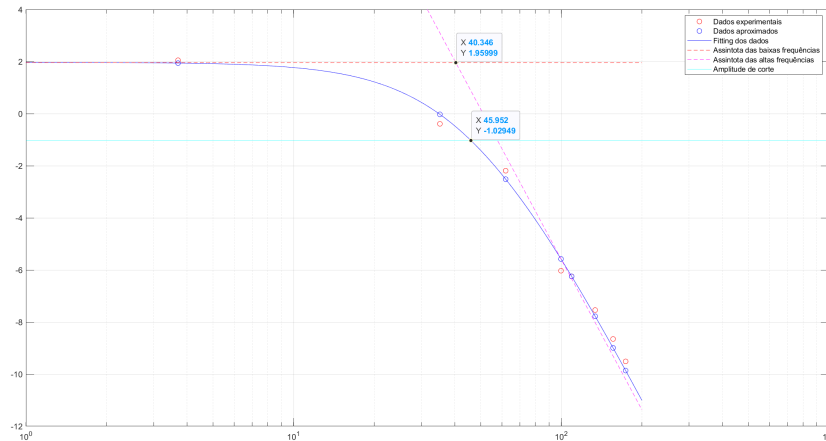


Fig. 6: Aproximação ao diagrama de Bode do sistema

## 4 Modelação do sistema

### 4.1 [T] Modelação de parâmetros do sistema

**Resposta:** Nesta parte do trabalho pretende-se adicionar ao sistema um controlador,  $K(s) = \frac{k_1}{s} \frac{s+z}{z}$ , em que  $k_0 \geq 0$  e  $z \geq 0$ .

O objetivo é que este controlador cumpra um conjunto de requisitos entre eles que o sistema seja estável. Para tal vamos observar a função de transferência do sistema em cadeia fechada, que é trivial

de concluir que vai ser dada pela seguinte expressão:

$$\frac{W(s)}{R(s)} = \frac{K(s) \cdot G(s)}{1 + K(s) \cdot G(s)} = \frac{\frac{k_1 k_0 a}{z} (s + z)}{s^2 + s(a + \frac{k_1 k_0 a}{z}) + k_1 k_0 a} \quad (4.1)$$

Através da equação (4.1) é fácil de concluir que para o sistema ser estável, então  $k_1 > 0$  e  $z > 0$ .

Uma outra restrição é que o erro estático tem de ser nulo. Analisando então o erro estático do sistema facilmente se conclui que:

$$\lim_{s \rightarrow 0} \frac{s^2 + s \cdot a}{s^2 + s(a + k_1 k_0 a) + k_1 z k_0 a} = \frac{0}{k_1 z k_0 a} \quad (4.2)$$

Pelo que se conclui que para o ganho estático ser nulo basta que  $k_1 \neq 0$  e  $z \neq 0$ .

Para análise das restantes condições utilizou-se como recurso o controlSystemDesigner do Matlab, obtendo-se a figura 7. Analisando o diagrama de Bode, observa-se que a margem de ganho deste sistema já cumpre a especificação de ser maior ou igual a 20 dB. Isto deve-se pois para qualquer valor de  $k_1, z \in \mathbb{R}^+$  o sistema nunca atinge fase de  $-180^\circ$ , levando a uma margem de ganho infinito. Isto era expectável pois o nosso sistema em cadeia aberta tem 2 polos (um deles integrador) e um zero, logo a fase do diagrama de bode inicia em  $-90^\circ$  (influenciada pelo integrador) e vai descer, sobre a influencia do outro polo, na pior das hipóteses até aproximadamente  $-180^\circ$ , mas não atingindo esse limite.

Já a margem de fase foi ajustada de modo a ser maior ou igual a  $80^\circ$ , como pedido no parâmetro *iii*), tendo-se obtido para os valores escolhidos uma P.M. =  $112^\circ$ .

Por fim, o parâmetro é *iv*) respeitado por qualquer sistema que tenha o seu diagrama de Bode de magnitude abaixo da zona amarela da figura 7, ou seja, abaixo dos -10 dB para frequências superiores a  $10 \cdot a = 370.4$ .

Devido a existirem infinitos sistemas que cumprem estes requisitos, foi escolhido um sistema que atinge um bom equilíbrio de todos os valores de amortecimento, tempo de subida, etc, tendo-se obtido um  $k_1 = 6.9094$  e um  $z = 14.89$ .

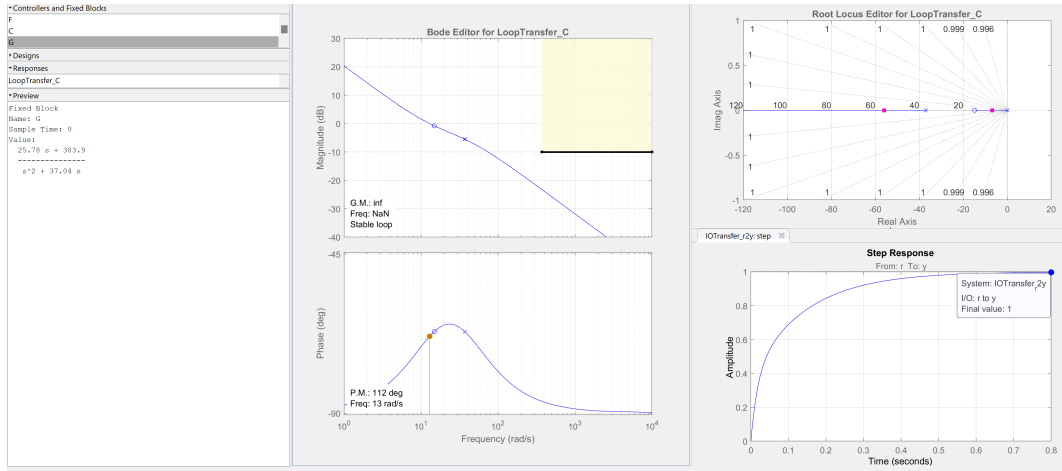


Fig. 7: ControlSystemDesigner do Matlab

## 4.2 [T] Limitações energéticas

Tendo em conta a restrição *iv*), estamos a restringir  $G(j\omega)K(j\omega) < -10\text{dB}$  para uma frequência, que neste caso é  $\omega = 10 \cdot a = 370.4\text{rad/s}$ . Tendo em conta que  $k_0 = 1.5$ , seria de esperar que a frequências superiores a  $10a$ ,  $G(j\omega) < -20 + 20\log(1.5)\text{dB}$ , sendo constante para uma data frequência.

Analisemos então a função de transferência entre o sinal de entrada e a atuação:

$$\frac{U(s)}{R(s)} = \frac{K(s)}{1 + K(s)G(s)} = \frac{K(s)G(s)}{1 + K(s)G(s)} \frac{1}{G(s)} \quad (4.3)$$

Como  $K(s)G(s) \ll 1$ , às frequências trabalhadas, pode se simplificar e obter a seguinte equação:

$$\frac{U(s)}{R(s)} \approx \frac{K(s)G(s)}{G(s)} = K(s) \quad (4.4)$$

Como  $G(s)$  é constante para uma mesma frequência, então ao limitarmos  $G(j\omega)K(j\omega) < -10\text{dB}$  em frequências superiores a  $10 \cdot a$  estamos a diminuir o  $K(s)$  para essas frequências e portanto a diminuir  $\frac{U(j\omega)}{R(j\omega)}$ .

Para se analisar o que acontece em termos energéticos, lembremos que a energia,  $E$ , é dada por:

$$E^2\{y\} = \int_0^\infty \Phi_R(\omega) \left| \frac{U(j\omega)}{R(j\omega)} \right|^2 d\omega \quad (4.5)$$

, em que  $\Phi_R(\omega)$  representa a densidade espectral do sinal de entrada.

Analisando a equação (4.5) é direto concluir que ao restringirmos a função  $K(s)G(s) < -10\text{dB}$  estamos a limitar também a energia do sinal de saída.

Esta conclusão seria de esperar uma vez que este tipo de restrições têm como objetivo atenuar o ruído a certa gamas de frequências, reduzindo portanto a energia do sinal.

### 4.3 [T] Margem de atraso

Ao adicionarmos um atraso do estilo,  $e^{-s\tau}$ , no nosso sistema, iríamos reduzir a fase do diagrama de bode do sistema por  $-\tau \cdot \omega_x$ . Consequentemente a margem de fase passaria a ser  $PM - \tau \cdot \omega_x$ , em que  $PM$  é a margem de fase do sistema sem atraso e  $\omega_x$  é a frequência à qual o módulo é 0dB. É direto concluir que para o sistema ser estável, a margem de fase tem de ser  $> 0$ , ou seja o sistema mantém-se estável se

$$\tau < \frac{PM}{\omega_x} \quad (4.6)$$

Analisando a equação (4.6), conclui-se que quanto maior for a margem de fase ( $PM$ ) e menor  $\omega_x$  do sistema maior será a gama de valores  $\tau$  de atraso tolerados.

### 4.4 [L] Resposta ao escalão do sistema real

Nesta parte laboratorial do trabalho testou-se a resposta do sistema real ao degrau unitário com os parâmetros  $k_1 = 6.9094$  e  $z = 14.89$  obtidos na secção 4.1. O resultado está apresentado na figura 8, do qual se nota que o sistema simulado se aproxima bastante ao real.

É importante de realçar, que infelizmente as especificações do motor se alteraram entre sessões do laboratório pelo que o valor de  $k_0$  se alterou para 1.382 em vez dos 1.5 obtidos na secção 3.3.

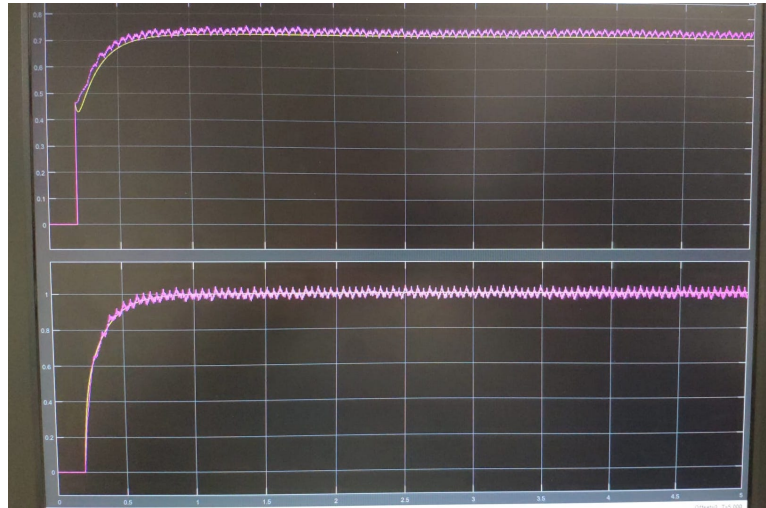


Fig. 8: Resposta do sistema ao escalão

### 4.5 [L] Impacto dos parâmetros $k_1$ e $z$ na resposta ao escalão

Tendo em conta os resultados da secção anterior, variou-se o valor de  $k_1$  e de  $z$  e observou-se o comportamento da resposta ao degrau. As conclusões que se retirou foram que :

- se se mantiver o  $z < a$ , então o sistema nunca terá sobre-elevação, enquanto que se se aumentar o  $z$  acima desse ponto e se aumentar o  $k$  já se observa sobre-elevação. Isto pode ser facilmente explicado através do root locus do sistema (figura 9), em que a partir do momento em que  $z > a$ , o root locus deixa de variar apenas no eixo real, formando-se agora um círculo em volta do zero. À medida que  $\frac{k_1}{z}$  aumenta (pontos a rosa da figura), o valor de sobre-elevação também aumentará, tendo o seu máximo quando estes pontos estiverem o maior valor imaginário em módulo. Depois disso este valor desce cada vez mais até que a sobre-elevação tende para 0 quando um destes pontos se aproxima do zero e o outro do infinito. Quanto ao tempo de pico, o raciocínio é semelhante e conclui-se que este diminui quanto menor for o  $\frac{k_1}{z}$ .
- o  $u(s)$ , que é o sinal de atuação, terá valores limites maiores quanto maior for o  $k_1$  e vice-versa. Quanto ao  $z$ ,  $u(s)$  terá valores limites maiores, quanto menor o  $z$  e vice-versa. Como sabemos que os valores limites de  $u(s)$  são dependentes do ganho de  $K(s)$  (eq. 4.6), então quanto maiores esses valores maior será  $K(s)$ . Portanto analisando a relação que existe entre a energia e o  $K(s)$  vista no 4.2, sabemos que quanto maior o  $K(s)$  maior será a energia do sistema. Tendo em conta que  $K(s)$  está dependente do ganho de  $\frac{k_1}{z}$ . Portanto quanto maior for o  $k_1$  maior a energia e quanto maior o  $z$  menor será a energia.

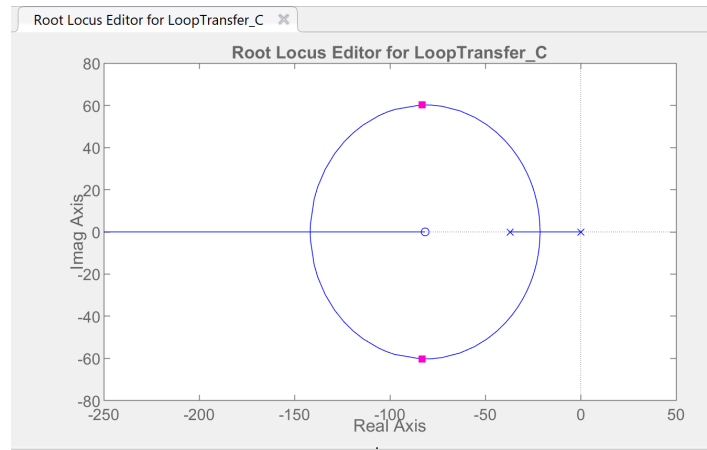


Fig. 9: Root locus do sistema com  $k_1 = 205.7$  e  $z = 86.45$

Em geral pode-se estabelecer uma relação de proporcionalidade entre a margem de fase (PM) e o coeficiente de amortecimento ( $\zeta$ ), sendo uma aproximação razoável  $\zeta = PM/100$ . Tendo em conta que a sobre-elevação aumentará com o aumento do coeficiente de amortecimento ( $s = 100e^{\frac{-\zeta\pi}{\sqrt{1-\zeta^2}}}$ ), é fácil concluir que uma diminuição na margem de fase levará a um aumento da sobre-elevação, como se pode ver nas figuras 10 e 11.

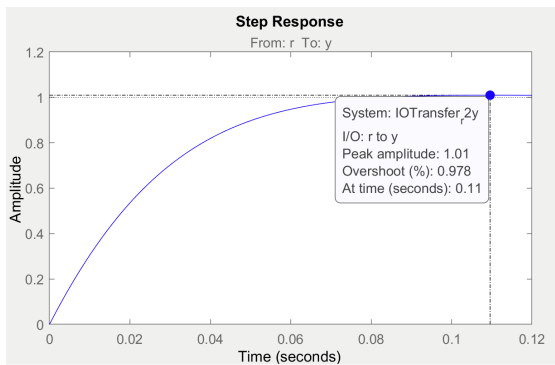


Fig. 10: Sobre-elevação para um sistema com M.P. = 82.5

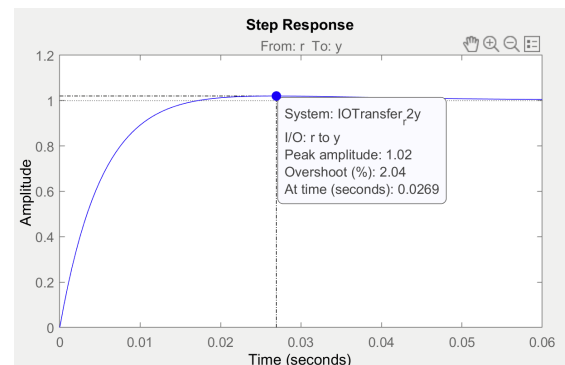


Fig. 11: Sobre-elevação para um sistema com M.P. = 87

Considerando  $\omega_x$  o ponto que o diagrama de bode interseeta os 0dB ("crossover frequency"). Ao



aumentarmos o ganho, o modulo do diagrama de bode do sistema sobe, pelo que  $\omega_x$  aumenta. Também será de esperar que em geral o sistema fique mais rápido, pelo que consequentemente teremos um tempo de pico mais reduzido. Chegamos então à conclusão que um aumento do  $\omega_x$  leva a uma diminuição do tempo de pico, como pode ser visto nas figuras 12 e 13.

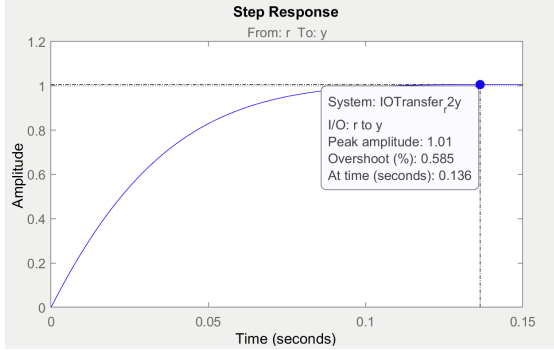


Fig. 12: Tempo de pico para um sistema com  $\omega_x = 32.8$

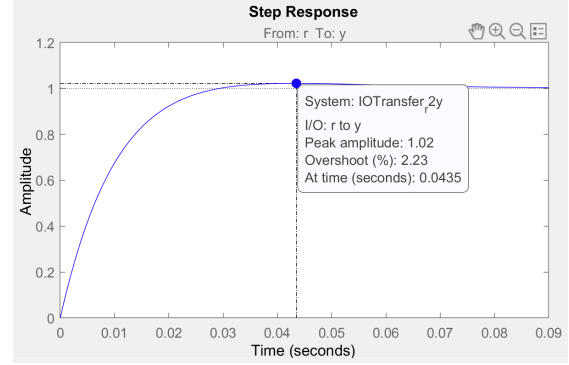


Fig. 13: Tempo de pico para um sistema com  $\omega_x = 109$

#### 4.6 [L] Introdução de atrasos no sistema

Recorrendo à expressão (4.6) e tendo em conta que nossos valores de  $k_1 = 6.9094$  e  $z = 14.89$ , a simulação do nosso sistema apresenta uma margem de fase  $PM = 110^\circ \approx 1.9199 \text{ rad}$  e um  $\omega_x = 11.5 \text{ rad/s}$  (valores diferentes da fig 7, pois  $k_0$  mudou). Com isto é fácil de concluir que para valores de  $\tau < 0.1669$  o nosso sistema permanece estável. Pelo que não foi necessário de alterar os parâmetros para que com um  $\tau = 0.02$  o sistema fosse estável, como se representa na figura 14.

Para demonstrar mais claramente o atraso máximo podemos desenhar o diagrama de Nyquist (figura 15) para o nosso  $\tau_{max} = 0.1669$ , onde podemos ver que estamos no limite da estabilidade (sistema marginalmente estável), ou seja, qualquer atraso maior que este fará o sistema instável, porque enquanto o  $\tau$  está abaixo desse valor o número de polos e voltas em torno do ponto -1 é 0, tendo portanto 0 zeros. Já quando se passa desse  $\tau_{max}$  já teremos um número de voltas  $> 0$  e, portanto, teremos pelo menos 1 zero, obtendo assim um sistema instável o que significa que sistema não pode ter um atraso tão alto.

Caso se pretendesse que o sistema tolerasse um atraso maior teria de se diminuir o  $\omega_x$  e/ou aumentar o valor de P.M.. No nosso sistema isto só seria possível diminuindo o ganho, pois o  $\omega_x$  varia mais rapidamente que o P.M. levando, portanto, a um aumento do tempo máximo de atraso.

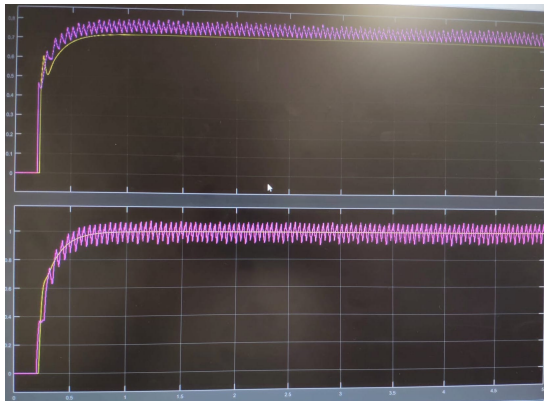


Fig. 14: Resposta do sistema com um atraso  $\tau = 0.02$

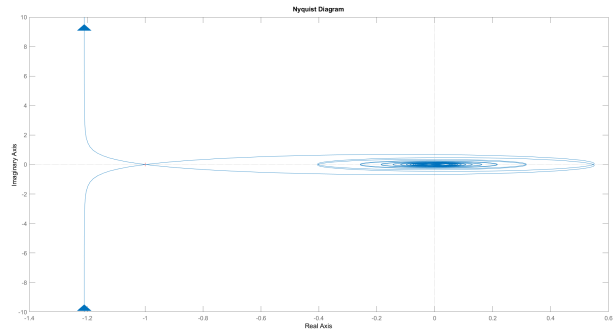


Fig. 15: Diagrama de nyquist com um atraso  $\tau = 0.16694$